

高能极化粒子、反粒子总截面的对称性

宋 燠

(中国科学院高能物理研究所)

摘 要

本文把关于非极化粒子、反粒子对固定靶散射的 И. Я. Померанчук 定理推广到极化粒子、反粒子的情况, 而得到在下一系列极化粒子、反粒子总截面的对称关系。

前 言

早在 1958 年, И. Я. Померанчук^[1] 证明了在高能下非极化粒子和反粒子对固定靶总截面趋于一致, 即 $1 + 2$ 和 $1 + \bar{2}$ 的总截面在高能下相等。通常的证明是从研究过程 (i), (ii) 的散射振幅入手的。

$$\left. \begin{array}{l} \text{(i) } 1 + 2 \rightarrow 1' + 2' \quad s \text{ 道} \\ \text{(ii) } 1 + \bar{2}' \rightarrow 1' + \bar{2} \quad u \text{ 道} \end{array} \right\} \quad (1)$$

这里 1 和 1' 是同一种粒子, 2 和 2' 是另一种粒子, $\bar{2}$ 表示 2 的反粒子。60 年代初^[2,3], 有不少人在理论上论证过这个定理, 理论预言和实验数据的比较^[3,9], 是符合的。

随着极化靶和极化束的建立, 人们对极化物理的兴趣日益增长, 因而在理论上对极化粒子的行为作出预言, 就更感必要, 所以, 我们把 И. Я. Померанчук 定理推广到极化粒子的情形中去。

一、螺旋性振幅的交叉对称性

我们重新研究过程 I, II。不过假定各粒子都有自旋: 1 和 1' 自旋为 σ_1 , 2 和 2' 自旋为 σ_2 。但螺旋性和参考系有关, 于过程 I 中, 在 s 道粒子 1, 2 质心系上计算, 1, 1', 2, 2' 四个粒子的螺旋性分别记为 $\lambda_1, \lambda_1'; \lambda_2, \lambda_2'$ 。如果在过程 II 中, 则在 $1, \bar{2}'$ 质心系上计算, 这四个粒子螺旋性分别记为 $\mu_1, \mu_1', \mu_2, \mu_2'$ 。这四个粒子四维动量以 p_1, p_1', p_2, p_2' 表之。反粒子 $\bar{2}, \bar{2}'$ 四维动量各为 $-p_2, -p_2'$ 。Mandelstam 变数 s, u, t 为:

$$\left. \begin{array}{l} s = -(p_1 + p_2)^2, \quad u = -(p_1 - p_2')^2, \\ t = -(p_1 - p_1')^2, \quad s + u + t = 2m_1^2 + 2m_2^2. \end{array} \right\} \quad (2)$$

三个 Mandelstam 变数中, 只有两个是独立的, 这里 m_1, m_2 分别为 1, 1' 和 2, 2' 粒子

静止质量, 假定它们都不为 0. 在过程 I 中的物理区是

$$s \geq \left(\sqrt{m_1^2 + \frac{|t|}{4}} + \sqrt{m_2^2 + \frac{|t|}{4}} \right)^2, \quad t_0 < t \leq 0 \quad (3)$$

\sqrt{s} 为质心系总能量.

在过程 II 中的物理区是

$$u \geq \left(\sqrt{m_1^2 + \frac{|t|}{4}} + \sqrt{m_2^2 + \frac{|t|}{4}} \right)^2, \quad t_0 < t \leq 0 \quad (4)$$

\sqrt{u} 为质心系总能量.

若以 s, t 作独立变数, 过程 II 中 s 变化范围是

$$-\infty < s < 2m_1^2 + 2m_2^2 - t - \left(\sqrt{m_1^2 + \frac{|t|}{4}} + \sqrt{m_2^2 + \frac{|t|}{4}} \right)^2. \quad (5)$$

当 t 固定, 在 s 复平面上, 过程 I、过程 II 的物理区如图 1 所示.

我们把过程 I 散射振幅记为

$$\langle \lambda'_1, \lambda'_2 | A^s(s, u, t) | \lambda_1, \lambda_2 \rangle. \quad (6)$$

把过程 II 散射振幅记为

$$\langle \mu'_1, \mu'_2 | A^u(s, u, t) | \mu_1, \mu_2 \rangle. \quad (7)$$

Trueman 和 Wick^[4] 在 1964 年找到振幅 (6) 和 (7) 的联系. 他们利用一定的复路径, 从过程 I 物理区复数邻域一点 $(s + i\epsilon, u - i\epsilon)$ 开始, 把散射振幅解析延拓到过程 II 物理区复数邻域的一点 $(s - i\epsilon, u + i\epsilon)$. 这样就得到两个振幅间关系

$$\langle \mu'_1, \mu'_2 | A^s(s, u, t) | \mu_1, \mu_2 \rangle = \langle \mu_1, \mu_2 | A^u(s, u, t) | \mu_1, \mu'_2 \rangle \quad (8)$$

这里 μ_i, μ'_i 是 1、2' 粒子质心系上计算的螺旋性. 但振幅 (6) 始态 $|\lambda_1, \lambda_2\rangle$, 末态 $\langle \lambda'_1, \lambda'_2|$ 是 1、2 粒子质心系上计算的螺旋性本征态. 可以通过旋转变换把这两组本征态联系起来. 据文献^[5] 我们得到

$$\begin{aligned} & \langle \lambda'_1, \lambda'_2 | A^s(s, u, t) | \lambda_1, \lambda_2 \rangle \\ &= \sum_{\mu_i, \mu'_i} d_{\mu_1, \lambda_1}^{\sigma_1}(\chi_1) d_{\mu_2, \lambda_2}^{\sigma_2}(\chi_2) d_{\mu'_2, \lambda'_2}^{\sigma_2}(\chi'_2) \\ & \quad \cdot d_{\mu_1, \lambda_1}^{\sigma_1}(\chi'_1) \langle \mu'_1, \mu'_2 | A^s(s, u, t) | \mu_1, \mu_2 \rangle \\ &= \sum_{\mu_i, \mu'_i} d_{\mu_1, \lambda_1}^{\sigma_1}(\chi_1) d_{\mu_2, \lambda_2}^{\sigma_2}(\chi_2) d_{\mu'_2, \lambda'_2}^{\sigma_2}(\chi'_2) d_{\mu_1, \lambda_1}^{\sigma_1}(\chi'_1) \\ & \quad \cdot \langle \mu'_1, \mu_2 | A^u(s, u, t) | \mu_1, \mu'_2 \rangle \end{aligned} \quad (9)$$

$\chi_1, \chi_2, \chi'_1, \chi'_2$ 分别为粒子 1、2、1'、2' (反粒子动量为负) 在过程 I 质心系中运动方向与它在过程 II 质心系中运动方向之夹角. 转动函数定义为

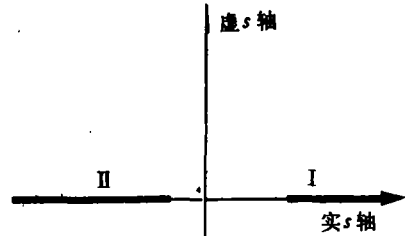


图 1

$$d_{\lambda\mu}^{\sigma}(\theta) = \left\langle \sigma, \lambda \left| \exp\left(i \frac{\theta}{\hbar} \cdot J_y\right) \right| \sigma, \mu \right\rangle. \quad (10)$$

可参阅文献 [6].

$\chi_1, \chi_2, \chi'_1, \chi'_2$ 可表示为

$$\left. \begin{aligned} \cos \chi_1 &= \cos \chi'_1 = \frac{-(s + m_1^2 - m_2^2)(u + m_1^2 - m_2^2)}{[\lambda(s, m_1, m_2)\lambda(u, m_1, m_2)]^{\frac{1}{2}}} \\ \cos \chi_2 &= \cos \chi'_2 = \frac{(s + m_2^2 - m_1^2)(u + m_2^2 - m_1^2)}{[\lambda(s, m_1, m_2)\lambda(u, m_1, m_2)]^{\frac{1}{2}}} \end{aligned} \right\} \quad (11)$$

其中 $\lambda(x, y, z) = x^2 + y^2 + z^2 - 2xy - 2xz - 2yz$.

注意到 s, u, t 三个变数中, 只有两个是独立的, 我们令 $t = \text{const}$, 取高能极限, 即 $s \rightarrow \pm\infty$

$$\left. \begin{aligned} \lim_{s \rightarrow \pm\infty} \cos \chi_1 &= \lim_{s \rightarrow \pm\infty} \cos \chi'_1 = 1 \\ \lim_{s \rightarrow \pm\infty} \cos \chi_2 &= \lim_{s \rightarrow \pm\infty} \cos \chi'_2 = -1 \end{aligned} \right\} \quad (12)$$

所以

$$\left. \begin{aligned} \lim_{s \rightarrow \pm\infty} \chi_1 &= \lim_{s \rightarrow \pm\infty} \chi'_1 = 0 \\ \lim_{s \rightarrow \pm\infty} \chi_2 &= \lim_{s \rightarrow \pm\infty} \chi'_2 = \pi \end{aligned} \right\} \quad (13)$$

在高能极限下, 这些转动函数为

$$\left. \begin{aligned} d_{\mu_1, \lambda_1}^{\sigma_1}(\chi_1) &= d_{\mu_1, \lambda_1}^{\sigma_1}(0) = \delta_{\mu_1, \lambda_1}, \\ d_{\mu'_1, \lambda'_1}^{\sigma'_1}(\chi'_1) &= d_{\mu'_1, \lambda'_1}^{\sigma'_1}(0) = \delta_{\mu'_1, \lambda'_1}, \\ d_{\mu_2, \lambda_2}^{\sigma_2}(\chi_2) &= d_{\mu_2, \lambda_2}^{\sigma_2}(\pi) = (-1)^{\sigma_2 + \mu_2} \delta_{\mu_2, -\lambda_2}, \\ d_{\mu'_2, \lambda'_2}^{\sigma'_2}(\chi'_2) &= d_{\mu'_2, \lambda'_2}^{\sigma'_2}(\pi) = (-1)^{\sigma'_2 + \mu'_2} \delta_{\mu'_2, -\lambda'_2}. \end{aligned} \right\} \quad (14)$$

把 (14) 式代入 (9) 式之中, 得到

$$\begin{aligned} & \lim_{\substack{|s| \rightarrow \infty \\ t = \text{const}}} \langle \lambda'_1, \lambda'_2 | A^s(s, u, t) | \lambda_1, \lambda_2 \rangle \\ &= \lim_{\substack{|s| \rightarrow \infty \\ t = \text{const}}} (-1)^{2\sigma_2 - \lambda_2 - \lambda'_2} \langle \lambda'_1, -\lambda_2 | A^s(s, u, t) | \lambda_1, -\lambda'_2 \rangle. \end{aligned} \quad (15)$$

在 $t = \text{const}$ 条件下, (15) 的两边都唯一决定于 s (s 充分大). 由 (15) 式可看到, 在下述情况中, 因子 $(-1)^{2\sigma_2 - \lambda_2 - \lambda'_2} = 1$.

- (i) $2, 2'$ 是玻色子 $\lambda_2 + \lambda'_2 = \pm 2n, \quad n = 0, 1, \dots, \sigma_2$
(ii) $2, 2'$ 是费米子 $\lambda_2 + \lambda'_2 = \pm(2n + 1), \quad n = 0, 1, \dots, \left(\sigma_2 - \frac{1}{2}\right)$ (16)

属于这些情况的具体例子, 我们后面还要讨论. 由 (15) 可知, 可以找到一个 s 的解析函数 (t 不变) 把过程 I 及过程 II 振幅统一表示出来:

$$\left. \begin{aligned}
 \lim_{\epsilon \rightarrow 0} F_{\lambda_1' \lambda_2'; \lambda_1 \lambda_2}(s + i\epsilon, t) &= \langle \lambda_1', \lambda_2' | A^s(s, u, t) | \lambda_1, \lambda_2 \rangle, \\
 s &> \left(\sqrt{m_1^2 + \frac{|t|}{4}} + \sqrt{m_2^2 + \frac{|t|}{4}} \right)^2 \\
 \lim_{\epsilon \rightarrow 0} F_{\lambda_1' \lambda_2'; \lambda_1 \lambda_2}(s - i\epsilon, t) &= \langle \lambda_1', -\lambda_2' | A^u(s, u, t) | \lambda_1, -\lambda_2 \rangle. \\
 s &< 2m_1^2 + 2m_2^2 - t - \left(\sqrt{m_1^2 + \frac{|t|}{4}} + \sqrt{m_2^2 + \frac{|t|}{4}} \right)^2
 \end{aligned} \right\} (17)$$

上式就是在高能下极化粒子、反粒子散射振幅间的交叉对称关系。

二、高能下极化粒子反粒子总截面对称关系

根据 Schwarz 反射原则, 散射振幅(作为 s 的函数)满足下列关系

$$F^*(s) = F(s^*) \quad (18)$$

根据这个性质, 由极化情况下光学定理^[10]我们得到

$$\left. \begin{aligned}
 \lim_{\epsilon \rightarrow 0} \text{Im} F_{\lambda_1 \lambda_2; \lambda_1 \lambda_2}(s + i\epsilon, 0) &= \frac{g}{4\pi} \sigma_{\lambda_1, \lambda_2}(s), \\
 s &> (m_1 + m_2)^2 \\
 \lim_{\epsilon \rightarrow 0} \text{Im} F_{\lambda_1 \lambda_2; \lambda_1 \lambda_2}(s - i\epsilon, 0) &= -\frac{g}{4\pi} \bar{\sigma}_{\lambda_1, -\lambda_2}(|s|), \\
 s &< (m_1 - m_2)^2
 \end{aligned} \right\} (19)$$

g 为实验室系入射粒子动量。 $\sigma_{\lambda_1, \lambda_2}(s)$ 为过程 I 总截面、初态中粒子 1、2 螺旋性为 λ_1, λ_2 。末态包括 1 + 2 产生的一切反应道, 已对动量求积分, 自旋求和。 $\bar{\sigma}_{\lambda_1, -\lambda_2}(|s|)$ 则是粒子 1 及反粒子 $\bar{2}'$ 产生的总截面, 1, $\bar{2}'$ 螺旋性为 $\lambda_1, -\lambda_2$ 。

参考 A. Martin^[7] 的方法, 我们现在把 И. Я. Померанчук 定理推广到极化粒子、反粒子的情况。

假定: 当 s 为实数时, $F_{\lambda_1 \lambda_2; \lambda_1 \lambda_2}(s)$ 满足下列条件:

$$\left. \begin{aligned}
 \text{(i)} \quad &F_{\lambda_1 \lambda_2; \lambda_1 \lambda_2}(s) < C \exp(|s|^\beta); \quad \beta < 1 \\
 \text{(ii)} \quad &\lim_{s \rightarrow \pm\infty} \frac{|F_{\lambda_1 \lambda_2; \lambda_1 \lambda_2}(s)|}{|s| \ln |s|} = 0; \\
 \text{(iii)} \quad &\sigma_{\lambda_1, \lambda_2}(s) - \bar{\sigma}_{\lambda_1, -\lambda_2}(|s|). \text{ 当 } s \rightarrow \infty \text{ 时极限存在}
 \end{aligned} \right\} (20)$$

证明: 由 (i)、(ii) 应用 Phragmén-Eindelöf 定理^[8], 可以证明在 s 上半复平面内, s 沿任意方向趋向 ∞ , 都有

$$\lim_{|s| \rightarrow \infty} \frac{|F_{\lambda_1 \lambda_2; \lambda_1 \lambda_2}(s)|}{|s| \ln |s|} = 0. \quad (21)$$

我们作一变换: $z = s^2$, $F_{\lambda_1 \lambda_2; \lambda_1 \lambda_2}(s, 0) = G_{\lambda_1, \lambda_2; \lambda_1, \lambda_2}(z)$ 故 $G_{\lambda_1, \lambda_2; \lambda_1, \lambda_2}(z)$ 除了在实轴上 $z > (m_1 - m_2)^4$ 一割线外, 在全平面上解析, 它在割线上岸之值, 即 $F_{\lambda_1, \lambda_2; \lambda_1, \lambda_2}(s)$ 在 $s > (m_1 + m_2)^2$ 时之值, 它在割线下岸之值, 就是 $F_{\lambda_1, \lambda_2; \lambda_1, \lambda_2}(s)$ 在 $s < (m_1 - m_2)^2$ 时之值。

我们还构造一个函数

$$\varphi_{\lambda_1, \lambda_2}(z) = 8\pi m_1 \frac{[G_{\lambda_1, \lambda_2; \lambda_1, \lambda_2}(z) - G_{\lambda_1, \lambda_2; \lambda_1, \lambda_2}^*(z^*)]}{\sqrt{z - 4m_1^2 m_2^2}}. \quad (22)$$

注意 $G_{\lambda_1, \lambda_2; \lambda_1, \lambda_2}(z)$ 和 $G_{\lambda_1, \lambda_2; \lambda_1, \lambda_2}^*(z^*)$ 并不相同, 但可以证明

$$\varphi_{\lambda_1, \lambda_2}^*(z) = \varphi_{\lambda_1, \lambda_2}(z^*), \quad (23)$$

$$\lim_{\epsilon \rightarrow 0} \operatorname{Im} \varphi_{\lambda_1, \lambda_2}(z + i\epsilon) = \sigma_{\lambda_1, \lambda_2}(z) - \bar{\sigma}_{\lambda_1, -\lambda_2}(z). \quad (24)$$

因为 $\lim_{z \rightarrow \infty} \frac{1}{2m_1} \sqrt{z - 4m_1^2 m_2^2} = g$ 实验室系中入射粒子动量.

由(21)式可证

$$\lim_{|z| \rightarrow \infty} \frac{|\varphi_{\lambda_1, \lambda_2}(z)|}{\ln(z)} = 0. \quad (25)$$

这样运用句犀定理于下面迴路中得一次相减色散关系

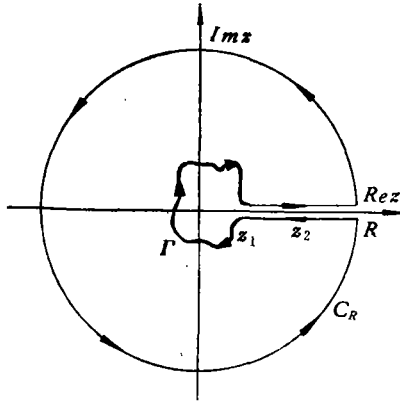


图 2

$$\begin{aligned} & \varphi_{\lambda_1, \lambda_2}(z) - \varphi_{\lambda_1, \lambda_2}(z_0) \\ &= \frac{z - z_0}{2\pi i} \int_{\Gamma} dz' \frac{\varphi_{\lambda_1, \lambda_2}(z')}{(z' - z)(z' - z_0)} \\ & \quad + \frac{z - z_0}{2\pi i} \int_{z_1}^R dz' \\ & \quad \cdot \frac{[\varphi_{\lambda_1, \lambda_2}(z' + i\epsilon) - \varphi_{\lambda_1, \lambda_2}(z' - i\epsilon)]}{(z' - z)(z' - z_0)} \end{aligned} \quad (26)$$

$$+ \frac{z - z_0}{2\pi i} \int_{C_R} dz' \frac{\varphi_{\lambda_1, \lambda_2}(z')}{(z' - z)(z' - z_0)}. \quad (26)$$

利用条件(25)可证

$$\lim_{R \rightarrow \infty} \int_{C_R} dz' \frac{\varphi_{\lambda_1, \lambda_2}(z')}{(z' - z)(z' - z_0)} = 0 \quad (27)$$

由(23)式得

$$\frac{1}{2i} [\varphi_{\lambda_1, \lambda_2}(z' + i\epsilon) - \varphi_{\lambda_1, \lambda_2}(z' - i\epsilon)] = \operatorname{Im} \varphi_{\lambda_1, \lambda_2}(z' + i\epsilon)$$

这里 z' 是实数. 当 $R \rightarrow \infty$, (26)式成为

$$\begin{aligned} \varphi_{\lambda_1, \lambda_2}(z) &= \varphi_{\lambda_1, \lambda_2}(z_0) + \frac{z - z_0}{2\pi i} \int_{\Gamma} \frac{dz' \varphi_{\lambda_1, \lambda_2}(z')}{(z' - z)(z' - z_0)} \\ & \quad + \frac{z - z_0}{\pi} \int_{z_1}^{z_2} dz' \frac{\operatorname{Im} \varphi_{\lambda_1, \lambda_2}(z' + i\epsilon)}{(z' - z)(z' - z_0)} \\ & \quad + \frac{z - z_0}{\pi} \int_{z_2}^{\infty} dz' \frac{\operatorname{Im} \varphi_{\lambda_1, \lambda_2}(z' + i\epsilon)}{(z' - z)(z' - z_0)} \end{aligned} \quad (28)$$

由假定(20)(iii), 知 $\operatorname{Im} \varphi_{\lambda_1, \lambda_2}(z)$ 极限存在, 我们把它叫做 C , 当 z_2 充分大时, 可找到 $\epsilon(z_2)$, 使

$$|\operatorname{Im} \varphi_{\lambda_1, \lambda_2}(z + i\epsilon)| < |C - \epsilon(z_2)|, \quad (29)$$

$$\text{这样, 末一积分} \leq \frac{1}{\pi} |C - a(z_2)| \cdot \ln \left| \frac{z_2 - z}{z_2 - z_0} \right|. \quad (30)$$

若保持 z_2, z_0 不变, 令 $|z| \rightarrow \infty$, 则在方程 (28) 中, 除末项积分外, 各项均有界, 如果 $C \neq 0$, 则末项积分发散, 等式不成立, 所以 $C = 0$, 我们得到

$$\sigma_{\lambda_1, \lambda_2}(z) = \bar{\sigma}_{\lambda_1, -\lambda_2}(z). \quad (31)$$

三、讨 论

1. 当入射粒子为矢量介子 $\rho^{+\circ}$ 或赝矢介子时, λ_2 可以是 1、0、-1, 靶核为质子 (或别的粒子). 这三种螺旋态我们称为右旋的 (R), 左旋的 (L) 以及纵向的 (0). 以 σ_R 表示入射为右旋粒子 (或反粒子) 的总截面. σ_L 表示入射为左旋粒子 (或反粒子) 总截面. σ_0 表示入射纵向极化粒子 (或反粒子) 总截面. 由 (31) 得

$$\left. \begin{aligned} \sigma_R(\rho^+p) &= \sigma_L(\rho^-p), \quad \sigma_R(\rho^-p) = \sigma_L(\rho^+p), \\ \sigma_0(\rho^+p) &= \sigma_0(\rho^-p), \quad \sigma_R(\rho^0p) = \sigma_L(\rho^0p). \end{aligned} \right\} \quad (32)$$

对于 $A_1^{+\circ}$ 也有类似关系. 简言之, 对固定靶而言, 右旋粒子总截面和左旋反粒子总截面在高能下相等, 左旋粒子总截面和右旋反粒子的总截面在高能下也相等.

2. 当入射粒子为费米子时, 例如 $\sigma_2 = \frac{1}{2}$, $\lambda_2 = \pm \frac{1}{2}$. 具体例子如下

(i) 极化正、负电子和核子总截面

$$\sigma_L(e^+p) = \sigma_R(e^-p), \quad \sigma_R(e^+p) = \sigma_L(e^-p);$$

(ii) 极化 μ^\pm 介子和质子总截面

$$\sigma_L(\mu^+p) = \sigma_R(\mu^-p), \quad \sigma_R(\mu^+p) = \sigma_L(\mu^-p);$$

(iii) 极化质子、反质子和中子总截面

$$\sigma_L(p, n) = \sigma_R(\bar{p}, n), \quad \sigma_R(p, n) = \sigma_L(\bar{p}, n);$$

(iv) 极化质子、反质子和任何原子核 A (包括 P) 总截面

$$\sigma_L(p, A) = \sigma_R(\bar{p}, A), \quad \sigma_R(p, A) = \sigma_L(\bar{p}, A);$$

(v) 极化 $\Lambda, \bar{\Lambda}$ 和任何原子核总截面

$$\sigma_L(\Lambda, A) = \sigma_R(\bar{\Lambda}, A), \quad \sigma_R(\Lambda, A) = \sigma_L(\bar{\Lambda}, A).$$

这里最有希望做的是 p, \bar{p} 极化束及 e^\pm 极化束的实验. 但目前尚未有这些方面的实验数据, 随着 p, \bar{p} 及 e^\pm 极化束的建立, 本文的结论将受到实验的考验. 对于光子, 中微子等静止质量为 0 粒子, 复 s 平面上两割线相连接, 因此无法从上半平面解析延拓到下半平面, 上述结论不成立.

后 记

在本文研究过程中, 理论所何祚庠同志曾给予有益讨论, 高能所张肇西同志曾提出宝贵意见, 特此致谢.

参 考 文 献

- [1] И. Я. Померанчук, Ж.Э.Т.Ф., **34**(1958), 725.
- [2] D. Amati, M. Fierz and V. Glaser, *Phys. Rev. Lett.*, **4**(1960), 89; S. Weinberg, *Phys. Rev.*, **124**(1961), 2049.
- [3] 章迺森, 物理学报, **20**(1964), 1244.
- [4] T. L. Trueman and G. C. Wick, *Ann. Phys.*, **26**(1964), 322.
- [5] P. D. B. Collins, An introduction to Regge Theory and high energy physics, p. 117.
- [6] A. R. Edmondo, Angular momentum in Quantum Mechanics.
- [7] A. Martin, *Nuovo Cimento*, **39**(1965), 704.
- [8] R. P. Boas, Entire Function.
- [9] S. J. Lindenbaum, *Phys. Rev. Lett.*, **7**(1961), 352.
- [10] Yu. V. Novozhilov, Introduction to elementary particle theory, § 7. 3.

SYMMETRIES OF THE TOTAL CROSS SECTIONS OF HIGH ENERGY POLARIZED PARTICLES AND ANTI-PARTICLES

SONG YU

(*Institute of High Energy Physics, Academia Sinica*)

ABSTRACT

An extension of И. Я. Померанчук theorem for incident unpolarized particles and anti-particles at a fixed target to the case of polarized particles and anti-particles is discussed and a series of symmetry relations between the total cross sections of polarized particles and anti-particles are obtained.